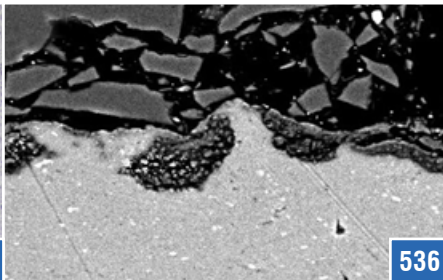
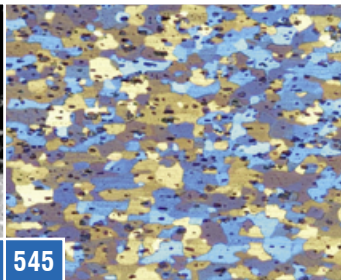


516



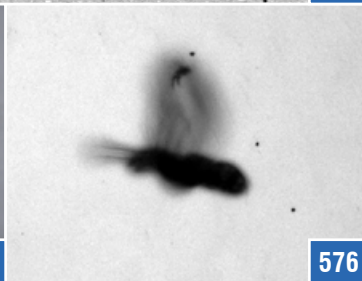
536



545



589



576



577

Editorial

515

Top Ten Downloads

576

Picture of the Month

576

News

577

M. Tümer, Ş. H. Atapek, M. Z. Kerimak, F. Uluvar

Properties of UNS 10276 Nickel Alloy and SA 516 GR 70 Steel Dissimilar Weldment
Eigenschaften einer Mischschweißverbindung aus Nickellegierung UNS 10276 und Stahl SA 516 GR 70024

516

O. Engler, K. Kuhnke, H.-J. Krupp, T. Hentschel

Characterization of Intergranular Corrosion in AA 5xxx Al-Mg Alloys
Charakterisierung der interkristallinen Korrosion in AA 5xxx Al-Mg Legierungen

545

M. Seitz, L. Karch, K. A. Weidenmann

Preparation Methods for Electron-Scanning and Light-Microscopic Analysis of Composite Peened Aluminium-Alumina Particle Composites

Präparationsmethodik zur elektronen- und lichtmikroskopischen Analyse von verbundgestrahlten Aluminium-Aluminiumoxid-Partikelverbunden

536

A. Neidel, V. Hartanto, S. Riesenbeck, T. Ullrich

Erosion Damage to Impeller of Welding Fume Extraction System
Erosionsschaden des Lüferrades einer Schweißrauchabsaugung

589